

Front Light

Design iGuzzini

iGuzzini

Dernière mise à jour des informations: Avril 2024

Configuration du produit: MB35

MB35: Projecteur petit corps - LED Warm White - Ballast électronique - Optique Flood



Référence produit

MB35: Projecteur petit corps - LED Warm White - Ballast électronique - Optique Flood **Attention ! Code abandonné**

Description technique

Projecteur pour intérieurs, orientable, avec adaptateur pour installation sur rail à tension de réseau. Appareil en aluminium moulé sous pression. La double possibilité d'orientation du projecteur permet une rotation de 360° autour de l'axe vertical et une inclinaison de 90° dans le plan horizontal. Blocages mécaniques du pointage aussi bien pour la rotation autour de l'axe vertical que par rapport au plan horizontal. Ballast électronique intégré. L'appareil est fourni avec un groupe LED optique flood en tonalité de couleur warm white.

Installation

sur rail électrifié

Coloris

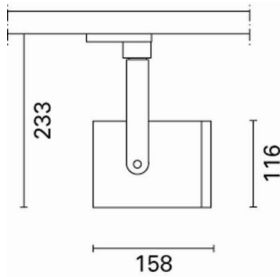
Blanc (01) | Noir (04) | Gris/Noir (74)

Montage

fixé à un rail 3 allumages

Câblage

composants électroniques logés dans l'appareil



Conforme à la norme EN60598-1 et à la réglementation en vigueur (ou à la réglementation relative)



Données techniques

| | | | |
|--|-------|--------------------------------------|---------------------------------|
| Im du système: | 1678 | IRC: | 80 |
| W du système: | 15.5 | Température de couleur [K]: | 3000 |
| Im source: | 2100 | MacAdam Step: | 2 |
| W source: | 14 | Durée de vie LED 1: | > 50,000h - L80 - B10 (Ta 25°C) |
| Efficacité lumineuse (lm/W, valeurs du système): | 108.4 | Code Lampe: | LED |
| Im en mode secours: | - | Nombre de lampes par groupe optique: | 1 |
| Flux total émis à un angle de 90° ou plus [Lm]: | 0 | Code ZVEI: | LED |
| Light Output Ratio (L.O.R.) [%]: | 80 | Nombre de groupes optiques: | 1 |
| Angle d'ouverture [°]: | 42° | | |

Polaire

| | | | | | |
|---|--|------------|----------|-----------|-------------|
| | CIE nL 0.80 99-100-100-100-80 UGR <10-<10 DIN A.61 UTE 0.80A+0.00T F*1=991 F*1+F*2=998 F*1+F*2+F*3=999 CIBSE LG3 L<1500 cd/m² at 65° UGR<10 L<1500 cd/mq @65° | Lux | | | |
| | | h | d | Em | Emax |
| | | 2 | 1.5 | 717 | 885 |
| | | 4 | 3.1 | 179 | 221 |
| | | 6 | 4.6 | 80 | 98 |
| 8 | 6.1 | 45 | 55 | | |

Coefficients d'utilisation

| | | | | | | | | | |
|------|----|----|----|----|----|----|----|----|-----|
| R | 77 | 75 | 73 | 71 | 55 | 53 | 33 | 00 | DRR |
| K0.8 | 72 | 68 | 66 | 63 | 67 | 65 | 65 | 62 | 78 |
| 1.0 | 75 | 72 | 69 | 67 | 71 | 69 | 68 | 66 | 82 |
| 1.5 | 79 | 76 | 74 | 73 | 75 | 74 | 73 | 70 | 88 |
| 2.0 | 81 | 79 | 78 | 77 | 78 | 77 | 76 | 74 | 93 |
| 2.5 | 83 | 81 | 80 | 79 | 80 | 79 | 78 | 76 | 95 |
| 3.0 | 84 | 83 | 82 | 81 | 82 | 81 | 80 | 78 | 97 |
| 4.0 | 85 | 84 | 84 | 83 | 83 | 82 | 81 | 79 | 99 |
| 5.0 | 85 | 85 | 84 | 84 | 84 | 83 | 82 | 80 | 100 |

Courbe limite de luminance

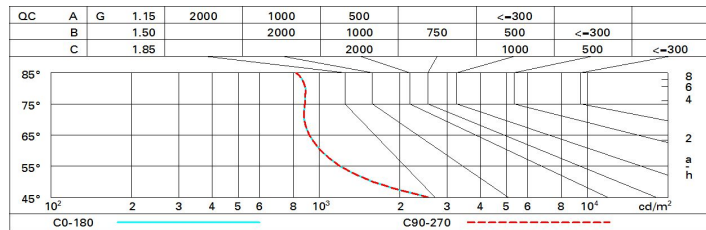


Diagramme UGR

| Corrected UGR values (at 2100 lm bare lamp luminous flux) | | | | | | | | | | | |
|---|------|------------------|------|------|------|------|----------------|------|------|------|------|
| Reflect.: | | viewed crosswise | | | | | viewed endwise | | | | |
| ceil/cav | | 0.70 | 0.70 | 0.50 | 0.50 | 0.30 | 0.70 | 0.70 | 0.50 | 0.50 | 0.30 |
| walls | | 0.50 | 0.30 | 0.50 | 0.30 | 0.30 | 0.50 | 0.30 | 0.50 | 0.30 | 0.30 |
| work pl. | | 0.20 | 0.20 | 0.20 | 0.20 | 0.20 | 0.20 | 0.20 | 0.20 | 0.20 | 0.20 |
| Room dim | | | | | | | | | | | |
| x | y | | | | | | | | | | |
| 2H | 2H | 7.5 | 8.0 | 7.7 | 8.3 | 8.5 | 7.5 | 8.0 | 7.7 | 8.3 | 8.5 |
| | 3H | 7.4 | 8.0 | 7.7 | 8.2 | 8.5 | 7.4 | 7.9 | 7.7 | 8.2 | 8.4 |
| | 4H | 7.4 | 7.9 | 7.8 | 8.2 | 8.5 | 7.3 | 7.8 | 7.6 | 8.1 | 8.4 |
| | 6H | 7.4 | 7.9 | 7.8 | 8.2 | 8.5 | 7.2 | 7.7 | 7.6 | 8.0 | 8.3 |
| | 8H | 7.4 | 7.8 | 7.8 | 8.2 | 8.5 | 7.2 | 7.6 | 7.6 | 8.0 | 8.3 |
| | 12H | 7.4 | 7.8 | 7.8 | 8.2 | 8.5 | 7.2 | 7.6 | 7.5 | 7.9 | 8.3 |
| 4H | 2H | 7.3 | 7.8 | 7.6 | 8.1 | 8.4 | 7.4 | 7.9 | 7.8 | 8.2 | 8.5 |
| | 3H | 7.3 | 7.7 | 7.7 | 8.1 | 8.4 | 7.4 | 7.8 | 7.7 | 8.1 | 8.5 |
| | 4H | 7.3 | 7.7 | 7.7 | 8.1 | 8.4 | 7.3 | 7.7 | 7.7 | 8.1 | 8.4 |
| | 6H | 7.4 | 7.7 | 7.8 | 8.1 | 8.5 | 7.3 | 7.6 | 7.7 | 8.0 | 8.4 |
| | 8H | 7.4 | 7.7 | 7.8 | 8.1 | 8.5 | 7.3 | 7.5 | 7.7 | 8.0 | 8.4 |
| | 12H | 7.4 | 7.6 | 7.8 | 8.1 | 8.5 | 7.2 | 7.5 | 7.7 | 7.9 | 8.4 |
| 8H | 4H | 7.3 | 7.5 | 7.7 | 8.0 | 8.4 | 7.4 | 7.7 | 7.8 | 8.1 | 8.5 |
| | 6H | 7.3 | 7.6 | 7.8 | 8.0 | 8.5 | 7.4 | 7.6 | 7.8 | 8.1 | 8.5 |
| | 8H | 7.4 | 7.6 | 7.8 | 8.0 | 8.5 | 7.4 | 7.6 | 7.8 | 8.0 | 8.5 |
| | 12H | 7.4 | 7.6 | 7.9 | 8.0 | 8.6 | 7.3 | 7.5 | 7.8 | 8.0 | 8.5 |
| 12H | 4H | 7.2 | 7.5 | 7.7 | 7.9 | 8.4 | 7.4 | 7.6 | 7.8 | 8.1 | 8.5 |
| | 6H | 7.3 | 7.5 | 7.8 | 8.0 | 8.5 | 7.4 | 7.6 | 7.9 | 8.0 | 8.5 |
| | 8H | 7.3 | 7.5 | 7.8 | 8.0 | 8.5 | 7.4 | 7.6 | 7.9 | 8.0 | 8.6 |
| Variations with the observer position at spacing: | | | | | | | | | | | |
| S = | 1.0H | 5.3 / -4.9 | | | | | 5.3 / -4.9 | | | | |
| | 1.5H | 8.0 / -5.3 | | | | | 8.0 / -5.3 | | | | |
| | 2.0H | 10.0 / -5.5 | | | | | 10.0 / -5.5 | | | | |